ВОЛЬТ-АМПЕРНАЯ ХАРАКТЕРИСТИКА ДЛИННЫХ ДВУХБАЗОВЫХ ДИОДОВ

г. м. авакьянц, г. хашимов

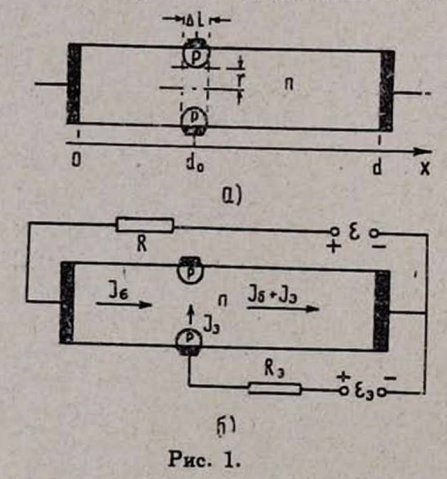
Теоретически исследуется длинный двухбазовый диод с учетом объемного заряда в базе. При взятом за параметр токе междубазовой цепи ($I_{\delta} = \text{const}$) харахтеристика эмиттерной цепи является S-образной.

Двухбазовые диоды, благодаря наличию на вольт-амперной характеристике отрицательного участка, широко применяются в полупроводниковой электронике [1, 2]. В работе [1] теоретически исследовались такие диоды, в которых перемещение избыточных носителей зарядов в базе обусловливается их диффузией. Вследствие этого ограничивалась область применимости полученных результатов $(d/L_p < 3)$.

В настоящей заметке, на основе разработанной и развитой теории [3, 4] прохождения тока через сверхдлинные диоды $(d\gg L_p)$, рассчитывается вольт-амперная характеристика эмиттерной цепи толстых двухбазовых диодов.

§ 1. Выбор структуры. Решение уравнений

Структура (а) и схема включения (б) исследуемого прибора показаны на рис. 1. Предполагается, что образец л-типа имеет цилиндри-



ческую форму, в торцах которого находятся невыпрямляющие тыловые контакты. $p^{\pm}n$ -переход с координатой d_0 является кольцеобразным, а внутренний радиус (r) его меньше половины длины диффузионного смещения для дырок $\left(r < \frac{1}{2} L_2\right)$. Ширина этого перехода (Δl) гораздо меньше, чем длина базы $d-d_0$. Вместе с этим, при вычислении вольт-амперной характеристики будем считать, что основная часть дырок, инъектированных эмиттером, распространяется одно-

мерно в области $d_0 < x < d$, и внешнее напряжение, приложенное к эмиттерной цепи, падает, в основном, в области токового электрического поля.

Согласно этому, связь между V_{\ni} и J_{\ni} при $J_{5}=$ const в неявном виде можно записать так:

the same

$$V_{\ni} = (J_{\sigma} + J_{\ni}) R, \tag{1}$$

где R — сопротивление базы диода с длиной $d-d_0$ и поперечным сечением s.

Как известно,

$$R = \frac{1}{qu_p s} \int_{d_0}^{d} \frac{dx}{p + bn}$$
 (2)

С целью вычисления этого интеграла составим уравнение для поля с учетом объемного заряда в базе [4]:

$$\frac{D}{q} E \frac{d}{dx} E \frac{dE}{dx} - E \frac{dE}{dx} \left(N - \frac{D}{qu_p \tau_p} \right) - \frac{b N + (b+1) p_n}{\tau_p u_n} E + \frac{J_{\vartheta}}{qu_p u_n \tau_p s} = 0.$$
(3)

Решение этого уравнения с граничными условиями $x=d_0, E=0; x=d, E=E_d$ будет:

$$\widetilde{u} = 1 + \frac{(\widetilde{u}_d - 1 + e^{\widetilde{A}_2}) e^{\widetilde{A}_1 \widetilde{y}} - (\widetilde{u}_d - 1 + e^{\widetilde{A}_1}) e^{\widetilde{A}_2 \widetilde{y}}}{e^{\widetilde{A}_1} + e^{\widetilde{A}_2}}.$$
 (4)

Здесь

$$\widetilde{u} = \frac{\beta}{\gamma} u, \ \widetilde{w} = \frac{\beta}{\gamma y_d} w, \ u = \frac{q u_n n_n s E}{J_{\vartheta}}, \ w = \frac{q^2 n_n^2 u_n s (x - d_0)}{D J_{\vartheta}},$$

$$\widetilde{A}_1 = A_1 y_d, \ \widetilde{A}_2 = A_2 y_d, \ A_1 = -\frac{1}{2} \alpha + \frac{1}{2} \sqrt{\alpha^2 + 4\beta},$$

$$\widetilde{A}_2 = -\frac{1}{2} \alpha - \frac{1}{2} \sqrt{\alpha^2 + 4\beta}, \ \widetilde{y} = \frac{y}{y_d}, \ \alpha = b\theta - (1 - \Phi), \ \beta = (b + \Phi)\theta,$$

$$\gamma = b\theta, \ \theta = \frac{D}{q u_n n_n \tau_s}, \quad \Phi = \frac{p_n}{n_n}, \quad u = \frac{dw}{dv}.$$
(5)

Заметим, что E_d определяется из зависимости

$$j_{p}\left(d\right)=qs_{p}\left(p_{d}-p_{n}\right),\tag{6}$$

где s_p — скорость поверхностной рекомбинации для дырок на тыловом контакте. Тогда выражение (2) можно переписать в виде

$$R = \frac{Df_{\ni}y_d}{q^3 n_n^3 u_p^2 s^2 (b+\Phi)^2} \int_0^1 \widetilde{u}^2 d\widetilde{y}.$$
 (7)

Величина у попределяется вычислением следующего интеграла

$$\widehat{w} = \int_{-\infty}^{1} \widetilde{u} \, d\widetilde{y} \,. \tag{8}$$

Как будет показано ниже (§ 2), вычисление интегралов (7) и (8) при низких уровнях инъекции дает для R постоянное значение, равное 2 Известия АН АрмССР, Физика, № 2

исходному. На самом деле, даже при низких уровнях инъекции имеет место модуляция проводимости и сопротивление меняется. Поэтому в случае низких уровней инъекции поступим следующим образом. Полагая, что при $\Delta p \ll n_n$ объемный заряд несущественен и E_z постоянно, получим уравнение непрерывности с учетом дрейфа и диффузии носителей зарядов в виде

$$\frac{d^2\Delta p}{dx^2} - 2\frac{\gamma}{L}\frac{d\Delta p}{dx} - \frac{\Delta p}{L^2} = 0, \tag{9}$$

где

$$2\gamma = \frac{E_{\sigma}qL}{kT}, L = \sqrt{D_{\rho}\tau_{\rho}}$$
.

Решая (9) с граничными условиями $x=d_0$, $p=p_0$ и x=d, $p=p_d$, находим

$$\Delta p = \frac{\Delta p_0 e^{\frac{\tau x - d_0}{L}} \operatorname{sh}\left(V \tau^2 + 1 \frac{d - x}{L}\right) + \Delta p_d e^{\frac{\tau x - d}{L}} \operatorname{sh}\left(V \tau^2 + 1 \frac{x - d_0}{L}\right)}{\operatorname{sh}\left(V \tau^2 + 1 \frac{d - d_0}{L}\right)}. \quad (10)$$

Постоянная Δp_0 определяется из обычных условий (так как $\gamma \gg 1$)

$$J_{\ni} \simeq J_{\ni p} (d_0) = (J_{\sigma} + J_{\ni}) \frac{p_0}{(b+1) p_0 + b N_g},$$
 (11)

а Δp_d находим из зависимости (6). Если в (10) будем считать, что $\Delta p_d = 0$, $\gamma = 0$, то получим распределение дырок по x, использованное в работе [1]. Следовательно, уравнение (9) и его решение (10) являются более общими и соответствуют реальной ситуации.

§ 2. Расчет падения напряжения

Когда напряжение, приложенное к эмиттерной цепи V_{\ni} мало или равно нулю, p^+-n -переход оказывается обратно включенным и через него протекает ток, равный току насыщения. С ростом V_{\ni} начинается компенсация напряжения, поддерживающего p^+-n -переход в запертом состоянии. При определенном значении $V_{\ni}(V_{\ni \max})$ ток через эмиттерный переход отсутствует ($J_{\ni}=0$). Сопротивление базы ($d-d_0$) будет равным исходному.

Дальнейшее увеличение V_{\ni} приводит к отпиранию p^+-n -перехода, который, инъектируя неосновные носители в базу, увеличивает ее проводимость. Сопротивление толщи падает, V_{\ni} уменьшается с током J_{\ni} . Такой ход зависимости будет продолжаться до выполнения условия

$$\frac{dV_{\theta}}{dI_{\alpha}} = 0. (12)$$

После этой точки вольт-амперная характеристика входной цепи прибора будет аналогична ВАХ обычного длинного диода [3, 4]. Нас бу-

дет интересовать закономерность изменения V_{\ni} с J_{\ni} , в основном, в области отрицательного участка. Она представлена зависимостью (1), когда R известна как функция J_{\ni} . Для этого надо вычислить (7), (8) и исключить из результирующих уравнений y_d . Но из-за трансцендентности полученных выражений для y_d не удается найти аналитическую зависимость R от J_{\ni} . Поэтому рассмотрим некоторые частные случаи.

Зависимости \widetilde{A}_1 и \widetilde{A}_2 таковы, что с ростом тока и \widetilde{A}_1 и $-\widetilde{A}_2$ уменьшаются. Когда ток мал, т. е.

$$\tilde{A}_1 \gg 1, \quad -\tilde{A}_2 \gg 1,$$
 (13)

то значения интегралов (7) и (8) будет тривиальными. При выполнении (13) получим $R=R_0$, где R_0 — исходное сопротивление. Но в действительности, как говорилось выше, R меняется. Для определения истинного значения R вычислим (2), используя (10). При этом полагаем

$$\Delta p_d \simeq 0$$
, sh $\left(V_{\gamma^2+1}^2 \frac{d-x}{L}\right) \simeq \frac{1}{2} e^{V_{\gamma^2+1}^2 \frac{d-x}{L}}$. (14)

После этого вольт-амперную характеристику находим в виде

$$V_{\ni} = R_0 \left(J_{\sigma} + J_{\ni} \right) \eta^{-1} \ln \frac{J_{\ni} (b+1) + \left(J_{\sigma} - bJ_{\ni} \right) e^{\eta}}{J_{\sigma} + J_{\ni}}, \tag{15}$$

где

$$\eta = \frac{s (d-d_0)}{\rho_0 (J_\sigma + J_0) u_\rho \tau_\rho},$$

 ρ_0 — удельное сопротивление исходного материала. Отсюда при J_9 —0 находится напряжение отпирания p^+_1 —n-перехода, которое мы в дальнейшем принимаем за максимальное значение

$$V_{\exists \max} = J_{\sigma}R_0. \tag{16}$$

Анализ $\frac{dV_{\ni}}{dJ_{\ni}}$ показывает, что в (15) V_{\ni} уменьшается с током. Зависимость V_{\ni} от J_{\ni} определяется по формуле (15) вплоть до нарушения условия — $\widetilde{A}_2 > 1$ (согласно определению $\widetilde{A}_1 \gg -\widetilde{A}_2$). Это означает, что (15) имеет место при

$$J_{\ni} < \frac{(d-d_0) s}{\rho_0^2 q u_p u_n \tau_p N}, \tag{17}$$

C дальнейшим ростом J_{\ni} выполняется условие, обратное (17), т. е.

$$\tilde{A}_1\gg 1, -\tilde{A}_2\ll 1.$$
 (18)

Вычисляя (7) и (8), в этом приближений вольт-амперную характеристику вида (15) заменяем следующей зависимостью:

$$V_{9} = (J_{\sigma} + J_{9}) \sqrt{\frac{8}{9} \frac{(d - d_{0})^{3}}{q \, u_{p} \, u_{n} \, N \tau_{p} \, s \, J_{9}}} \,. \tag{19}$$

Связь между V_{\ni} и J_{\ni} в такой форме будет сохраняться до нарушения неравенства

$$\frac{1}{2}\tilde{A}_1\tilde{A}_2 > 1$$
, или $J_{\ni} < \frac{qN(d-d_0)}{\rho_0 D}$ s. (20)

Если это условие имеет место и в области, где выполняется (12), то минимальное эмиттерное напряжение и соответствующий ему ток будут равными

$$V_{9 \min} = \sqrt{\frac{32}{9} \frac{\int_{\sigma} (d - d_0)^3}{q u_p u_n s N \tau_p}},$$
 (21)

$$J_{\ni \min} = J_{\sigma}. \tag{22}$$

Следовательно, отношение экстремальных значений напряжений имеет вид

$$\frac{V_{\theta \text{ max}}}{V_{\theta \text{ min}}} = \sqrt{\frac{9}{32} \rho_0 \frac{b N \tau_p J_z u_p^2}{(b n_n + p_n)(d - d_0) s}}.$$
 (23)

Не исключен случай, когда (20) нарушается раньше, чем V_{\ni} уменьшается до минимального значения, а вместо (20) выполняется условие

$$\widetilde{A}_1 \ll 1, \quad -\widetilde{A}_2 \ll 1. \tag{24}$$

Тогда из (7) и (8) получим

$$R = \frac{DJ_{9}y_{d}}{q^{3}n_{n}^{3}u_{p}^{2}(b+\Phi)^{2}}s^{2}\left(\frac{1}{3}\tilde{u}_{d}^{2} + \frac{1}{120}\tilde{A}_{1}^{2}\tilde{A}_{2}^{2}\right), \tag{25}$$

$$\widetilde{w}_d = \frac{1}{2} \widetilde{u}_d - \frac{1}{12} \widetilde{A}_1 \widetilde{A}_2.$$
 (26)

Как видно, здесь возможны два предельных случая:

а) Параметры прибора таковы, что выполняется условие

$$\tilde{u}_d > -\frac{1}{6} \tilde{A}_1 \tilde{A}_2$$
 или $J_9 < -\frac{1}{6} \frac{\beta}{\gamma} \left(\frac{t_q}{t_d} \right)^2 \frac{q u_n n_n E_d s}{A_2 A_2}$, (27)

где

$$L_d = \frac{s_p}{u_p}, \quad t_q = \frac{D}{q n_n u_n}, \quad t_d = \frac{d - d_0}{u_n E_d}.$$
 (28)

Согласно этому, из (1), (25) и (26) получим

$$V_{\ni} = \frac{f_{\sigma} + f_{\ni}}{f_{\ni}} \frac{2}{3} \frac{s_{\rho}}{u_{\rho}} (d - d_{0}). \tag{29}$$

Эта зависимость асимптотически приближается к вертикали, которую мы принимаем за $V_{\text{Э min}}$:

$$V_{9 \min} = \frac{2}{3} \frac{s_p}{u_q} (d - d_0). \tag{30}$$

Тогда вместо (23) будем иметь

$$\frac{V_{9 \text{ max}}}{V_{9 \text{ min}}} = \frac{3}{2} \frac{u_{\rho}}{s_{\rho}} \rho_0 \frac{J_{\sigma}}{s}. \tag{31}$$

Характеристика (29) имеет место в интервале токов

$$-\frac{1}{6}\frac{\beta}{\gamma}\left(\frac{t_q}{t_d}\right)^2\frac{qn_nu_nE_d}{A_1A_2}s>J_3>\frac{qN(d-d_0)}{\rho_0D}s. \tag{32}$$

б) Естественно, с дальнейшим ростом J_3 наступает область характеристики с выполнением условия, обратного (27). Если еще V_3 продолжает падать с током J_3 , то теперь эта закономерность будет иметь вид:

$$V_{9} = (J_{\sigma} + J_{9}) \left\{ \frac{18}{125} \frac{(d - d_{0})^{5}}{D_{\tau_{p}} u_{p} u_{n} J_{9}^{2} s} \right\}^{\frac{1}{3}}.$$
 (33)

Такой ход зависимости реализуется в материалах, где существенно образование объемного заряда.

В этом случае напряжение минимума и соответствующий ему ток будут выражаться так:

$$V_{9 \, \text{min}} = \left\{ \frac{243}{250} \, \frac{(d - d_0)^5 \, J_\sigma}{u_p \, u_n \, \tau_p \, D_S} \right\}^{\frac{1}{3}}, \tag{34}$$

$$J_{9 \min} = 2J_{\circ}. \tag{35}$$

А отношение $V_{9 \text{ max}}$ к $V_{9 \text{ min}}$ теперь зависит от параметров прибора в следующей форме:

$$\frac{V_{9 \text{ max}}}{V_{9 \text{ min}}} = \rho_0 \left\{ \frac{250}{243} - \frac{u_\rho u_n \tau_\rho D J_\sigma^2}{(d - d_0)^2 s^2} \right\}^{\frac{1}{3}} . \tag{36}$$

§ 3. Анализ полученных результатов

В § 2 получены основные соотношения между напряжением V_{\ni} и током J_{\ni} , а также их экстремальные значения в случае S-образной характеристики. Прежде всего отметим, что напряжение срыва ($V_{\ni max}$), согласно (16), является функцией только R_0 и J_{σ} . С ростом их $V_{\ni max}$ увеличивается.

Если при выполнении условия (12) влияние объемного заряда и тылового контакта мало, уровень инъекции по всей базе высок, то V_{\ni} имеет минимальное значение при токах $J_{\ni} = J_{\tau}$. Из (23) видно, что на характеристике может появиться падающий участок, если

$$J_{\tau} > \frac{32}{9} \frac{b n_n + p_n}{\rho_0 b N \tau_p} s (d - d_0).$$
 (37)

Протяженность отрицательного участка будет тем больше, чем больше удельное сопротивление исходного материала ρ_0 , междубазовый ток J_σ и время жизни дырок τ_p . Ясно, что степень модуляции проводимости базы будет сильней при больших τ_p . Согласно последнему требованию высокоомные материалы, полученные путем компенсации, непригодны для создания двухбазовых диодов, вследствие малости времении жизни в них.

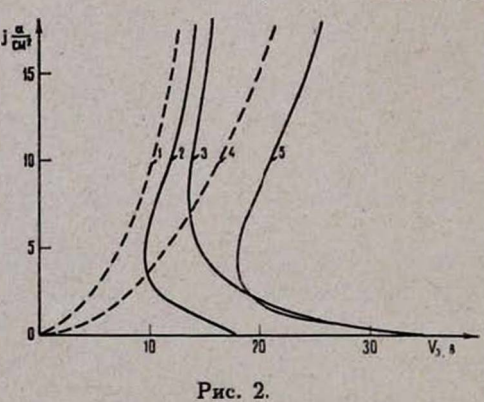
При заметном влиянии тылового контакта в области $V_{\ni \min}$ отношение $\frac{V_{\ni \max}}{V_{\ni \min}}$ не зависит от τ_p , а будет прямо пропорционально J_z , ρ_0 и обратно s_p ((31)). Но s_p не может быть сколько угодно малым, так как при этом неравенство (27) нарушается и исключается участок характеристики (29), обусловленный влиянием контакта. Последний случай имеет место при $n-n^+$ контакте ($s_p=0$).

 V_{1} , наконец, при выполнении условия (12), если в базе квазинейтральность нарушается и существенно образование объемного заряда, то V_{2} уменьшается до минимума при токах эмиттера, равных удвоенному J_{2} (см. (35)). В этом случае $V_{2\min}$ не зависит от проводимости материала (31), а является функцией фактора объемного заряда $D\left(=\frac{\varepsilon}{4\pi}\right)$. Причем с ростом последнего $V_{2\min}$ уменьшается. Протяженность отрицательного участка, согласно (36), будет увеличиваться с увеличением ρ_{0} , τ_{ρ} , J_{2} и D.

Если исходный полупроводниковый материал собственный или близок к собственному, то реально допустить $[4]-A_2=A_1$. Это будет возможно при

$$b\theta < 1 - \Phi < \sqrt{4(b+\Phi)\theta}. \tag{38}$$

Тогда остаются все рассуждения случаев $\tilde{A_1}$, $\tilde{A_2}$ 1, но теперь условие (18) не имеет места. Следовательно, исключается область, описывае-



мая зависимостью (19). Протяженность отрицательного участка будет определяться либо формулой (31), либо (36).

На рис. 2 приведены теоретические кривые, рассчитанные для n-Ge с параметрами:

Кривые: 1, 2,
$$3-\rho_0=20$$
 ом. см; 4, $5-\rho_0=40$ ом. см;
1, $4-j_\sigma=0$; 2, $5-j_\sigma=3$ $\frac{\alpha}{c\,m^2}$; $3-j_\sigma=6$ $\frac{\alpha}{c\,m^2}$
 $2-\tau_p=25$ мк сек; $3-\tau_p=85$ мк сек; $5-\tau_p=11$ мк сек.

В заключение заметим, что если в эмиттерной цепи поддерживать постоянными V_{\ni} и определять J_{τ} в зависимости от V_{τ} , то междубазовая характеристика является N-типа.

Институт радиофизики и электроники АН АрмССР

Поступила 20 мая 1967

ЛИТЕРАТУРА

- 1. А. П. Штагер, В. И. Стафеев, Радиотехника и электроника, 8, 1199 (1963).
- 2. L. David, Electronics World, 1, 46 (1964).
- 3. M. Lampert, A. Rose, Phys. Rew., 121, 26 (1961).
- 4. Г. М. Авакьянц, В. И. Мурынин, И. Д. Дмитриенко, Радиотехника и электроника, 10, 1700 (1965).

ԵՐԿԱՐ ԵՐԿՀԻՄՔԱՆԻ ԴԻՈԴԻ ՎՈԼՏ-ԱՄՊԵՐԱՅԻՆ ԲՆՈՒԹԱԳԻՐԸ.

Գ. Մ. ԱՎԱԳՏԱՆՑ, Ղ. ՀԱՇԻՄՈՎ

Տեռականորեն հետաղոտվում է երկար երկհիմքային դիողը, հաշվի առնելով ծավալային լիցըերի առկայությունը դիոդի հիմքում։

Այն դեպքում, երբ իրրև պարաժետր վերցվում է միջհիմ քային շղկայի հոսանքը ($I_{\sigma}=\mathrm{const}$), էմիտերային շղկայի բնուկագիրը հանդիսանում է S-տիպի։

ON VOLT-AMPERE CHARACTERISTIC OF TWO-BASE LONG DIODES

G. M. AVAKIANTS and G. HASHIMOV.

Long two-base diode is investigated theoretically taking into account the space charge in the base. The characteristic of the emitter circuit is S-type when the current of the interbase circuit is considered as a parameter.